

С.ЗУБ.26

3-937

22/11-70

СООБЩЕНИЯ  
ОБЪЕДИНЕННОГО  
ИНСТИТУТА  
ЯДЕРНЫХ  
ИССЛЕДОВАНИЙ

Дубна

P1 - 5056



Р.Я. Зулкарнеев

ЛАБОРАТОРИЯ ЯДЕРНЫХ ПРОБЛЕМ

ПРОВЕРКА  $T$ -ИНВАРИАНТНОСТИ  
ПРИ РАССЕЯНИИ НУКЛОНОВ НУКЛОНАМИ

Обзор

1970

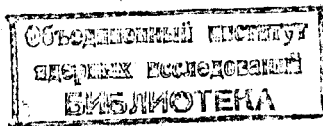
P1 - 5056

Р.Я. Зилькарнеев

8348/2 49

ПРОВЕРКА Т-ИНВАРИАНТНОСТИ  
ПРИ РАССЕЯНИИ НУКЛОНОВ НУКЛОНАМИ

Обзор



## Оглавление

	стр.
§ 1 Введение .....	3
§ 2 Метод матрицы рассеяния.....	3
§ 3 Следствия, вытекающие из T-инвариантности NN-взаимодействий.....	6
3а. Поляризация и асимметрия.....	6
3б. Связь $P_{\alpha}$ с коэффициентами матрицы рассеяния.....	8
3в. Ограничения на параметры тройного рассеяния и опыты с вращением спина.....	9
3г. Эксперименты с поляризованными мишенями.....	11
§ 4 Обзор экспериментальных работ.....	12
4а. Проверка $P=\alpha$ в опытах по двойному рассеянию протонов.....	12
4б. Проверка T-инвариантности в опытах по тройному рассеянию.....	15
§ 5 Анализ экспериментальных данных.....	18
§ 6 Заключение.....	21
Приложение.....	21
Литература.....	22

## § 1. В в е д е н и е

Исследование поведения взаимодействий относительно  $C$ - ,  $P$ - ,  $T$ - ,  $CPT$ - и др. преобразований относится к наиболее фундаментальным проблемам современной физики элементарных частиц. Обнаруженное несколько лет назад нарушение  $CP$ -четности (а через  $CPT$ -теорему и  $T$ -четности) в распадах  $K^0$ -мезонов /1/ и гипотезы, выдвинутые в связи с этим, стимулировали обсуждение вопросов, связанных с проверкой  $T$ -инвариантности в сильных, электромагнитных и слабых взаимодействиях. И сейчас, когда со времени открытия нарушения  $CP$ -четности прошло уже свыше 5 лет, эта проблема не потеряла еще своей актуальности.

Настоящая работа, в основу которой положена лекция, прочитанная слушателям межвузовской школы по физике элементарных частиц в 1968 г. в г. Ужгороде, имеет целью ознакомить начинающих специалистов с экспериментальными данными и возможностями, существующими в области проверки  $T$ -инвариантности в нуклон-нуклонных соударениях. В работе дается также критический обзор экспериментальных исследований по проверке  $T$ -инвариантности в  $pp$ -рассеянии.

## §2. Метод матрицы рассеяния

Возможность изучения эффектов  $T$ -инвариантности при упругом рассеянии нуклонов основывается на следующем феноменологическом рассмотрении.

Хорошо известно, что рассеяние двух частиц со спином 1/2 может быть описано матрицей, которая определяет амплитуду рассеянной волны как функцию спина и импульса падающей волны.

В случае рассеяния двух нуклонов эта матрица является скаляром и должна рассматриваться как оператор в четырехмерном спиновом пространстве. Самая общая форма этой матрицы имеет вид /2,3/

$$\begin{aligned}
 M = & A + B(\bar{\sigma}_1 \bar{n})(\bar{\sigma}_2 \bar{n}) + C(\bar{\sigma}_1 + \bar{\sigma}_2)\bar{n} + D(\bar{\sigma}_1 - \bar{\sigma}_2)\bar{n} + E(\bar{\sigma}_1 \bar{m})(\bar{\sigma}_2 \bar{m}) + \\
 & + F(\bar{\sigma}_1 \bar{\ell})(\bar{\sigma}_2 \bar{\ell}) + J(\bar{\sigma}_1 + \bar{\sigma}_2)\bar{m} + K(\bar{\sigma}_1 + \bar{\sigma}_2)\bar{\ell} + L[(\bar{\sigma}_1 \bar{\ell})(\bar{\sigma}_2 \bar{m}) - (\bar{\sigma}_1 \bar{m})(\bar{\sigma}_2 \bar{\ell})] + \\
 & + N[(\bar{\sigma}_1 \bar{n})(\bar{\sigma}_2 \bar{m}) + (\bar{\sigma}_1 \bar{m})(\bar{\sigma}_2 \bar{n})] + M[(\bar{\sigma}_1 \bar{n})(\bar{\sigma}_2 \bar{\ell}) + (\bar{\sigma}_1 \bar{\ell})(\bar{\sigma}_2 \bar{n})] + \Phi(\bar{\sigma}_1 - \bar{\sigma}_2)\bar{m} + (1) \\
 & + Q[(\bar{\sigma}_1 \bar{m})(\bar{\sigma}_2 \bar{m}) - (\bar{\sigma}_1 \bar{n})(\bar{\sigma}_2 \bar{m})] + W(\bar{\sigma}_1 - \bar{\sigma}_2)\bar{\ell} + S[(\bar{\sigma}_1 \bar{n})(\bar{\sigma}_2 \bar{\ell}) - (\bar{\sigma}_1 \bar{\ell})(\bar{\sigma}_2 \bar{n})] + \\
 & + T[(\bar{\sigma}_1 \bar{\ell})(\bar{\sigma}_2 \bar{m}) + (\bar{\sigma}_1 \bar{m})(\bar{\sigma}_2 \bar{\ell})].
 \end{aligned}$$

Здесь коэффициенты  $A$ ,  $B$ ,  $C$  и т.д. - скалярные функции углов и энергий;  $\bar{\sigma}_1$  и  $\bar{\sigma}_2$  - операторы спина первого и второго нуклонов; ортонормированная тройка векторов,  $\bar{n}$ ,  $\bar{m}$ ,  $\bar{\ell}$ , построена из единичных векторов импульса падающего нуклона ( $k$ ) и рассеянного ( $k'$ ) следующим образом:  $\bar{n} = (k \times k') / |k \times k'|$ ,  $\bar{m} = (k - k') / |k - k'|$ ,  $\bar{\ell} = (k + k') / |k + k'|$ .

При пространственных отражениях ( $P$  -четность), обращении времени ( $T$  -четность) и перестановке двух частиц (принцип Паули) коэффициенты матрицы (1), операторы  $\bar{\sigma}_1$  и  $\bar{\sigma}_2$  и пр. трансформируются способом, указанным в табл. 1. С помощью этой таблицы нетрудно установить, что несколько менее общим будет выражение

$$\begin{aligned}
 M = & A + B(\bar{\sigma}_1 \bar{n})(\bar{\sigma}_2 \bar{n}) + C(\bar{\sigma}_1 + \bar{\sigma}_2)\bar{n} + D(\bar{\sigma}_1 - \bar{\sigma}_2)\bar{n} + E(\bar{\sigma}_1 \bar{m})(\bar{\sigma}_2 \bar{m}) + \\
 & + F(\bar{\sigma}_1 \bar{\ell})(\bar{\sigma}_2 \bar{\ell}) + L[(\bar{\sigma}_1 \bar{\ell})(\bar{\sigma}_2 \bar{m}) - (\bar{\sigma}_1 \bar{m})(\bar{\sigma}_2 \bar{\ell})] + T[(\bar{\sigma}_1 \bar{\ell})(\bar{\sigma}_2 \bar{m}) + \\
 & + (\bar{\sigma}_1 \bar{m})(\bar{\sigma}_2 \bar{\ell})],
 \end{aligned} \quad (2)$$

инвариантное относительно пространственных вращений и отражений. И, наконец, если ограничиться требованиями инвариантности относительно

Таблица I

Величина	Преобразование				Величина	Преобразование			
	P	T	X	PT		P	T	X	PT
A	+	+	+	+	N	-	-	-	+
B	+	+	+	+	$\Phi$	-	-	+	+
C	+	+	+	+	Q	-	-	+	+
E	+	+	+	+	W	-	+	+	-
F	+	+	+	+	S	-	+	+	-
D	+	+	-	+	T	+	-	+	-
J	-	-	-	-	$\sigma_1, \sigma_2$	+	-	+	-
K	-	+	-	-	n	+	-	+	-
L	+	-	-	-	m	-	+	-	-
M	-	+	-	-	l	-	-	-	+

Примечание: " - " означает, что величина меняет свой знак при указанном преобразовании; " + " означает сохранение знака.

пространственных вращений, отражений в обычном и изотопическом пространствах и обращения времени, выражения (1) и (2) сведутся к более простой и известной форме /1,4,5/

$$M = A + B(\bar{\sigma}_1 n)(\bar{\sigma}_2 n) + C(\bar{\sigma}_1 + \bar{\sigma}_2) n + E(\bar{\sigma}_1 \bar{m})(\sigma_2 \bar{m}) + F(\bar{\sigma}_1 \bar{\ell})(\bar{\sigma}_2 \bar{\ell}), \quad (3)$$

в которой угловая и энергетическая зависимости коэффициентов достаточно хорошо определены на основании результатов фазового анализа NN-рассеяния в области энергий до  $\approx 750$  Мэв /6/.

### §3. Следствия, вытекающие из T -инвариантности NN - взаимодействий

#### 3а. Поляризация и асимметрия

Если матрица рассеяния T -инвариантна, различают два типа наблюдаемых величин:

$$P = (\text{Sp} M^+ \bar{\sigma}_1 M) / \text{Sp} M^+ M \quad (4)$$

и

$$Q = (\text{Sp} M^+ M \bar{\sigma}_1) / \text{Sp} M^+ M \quad (5)$$

Первая величина именуется поляризацией, вторая - асимметрией. Различие между ними, являющееся математическим следствием того факта, что операторы  $\bar{\sigma}$  и M, вообще говоря, не коммутируют друг с другом /2,5/, исчезает в случаях, описываемых (3).

Кстати, при упругом рассеянии нуклонов на ядрах со спином ноль обе величины совпадают независимо от того, сохраняется или нет при этом T -инвариантность. Равенство  $\bar{P} = \bar{Q}$  здесь обеспечено автоматически, если соблюдается пространственная четность. В практически интересном случае неупругого рассеяния равенство  $\bar{P} = \bar{Q}$  выполняется

в адиабатическом пределе, т.е. тогда, когда можно пренебречь разницей в энергиях падающих и рассеянных нуклонов /7/. Оба отмеченных случая играют чрезвычайно важную роль при постановке опытов по проверке Т-инвариантности в нуклон-нуклонных соударениях.

Вернемся к выражениям (4), (5). Хорошо известно /2,5/, что  $\bar{P}$  описывает спиновое состояние одного из нуклонов после рассеяния неполяризованного пучка неполяризованной мишенью и находится измерением азимутальной асимметрии " $\epsilon_p$ " при последующем рассеянии пучка на мишени-анализаторе с известной анализирующей способностью  $P_A$  (см. рис. 1). В соответствии с замечанием, сделанным выше, в качестве анализатора необходимо использовать ядро со спином ноль, а эксперимент следует проводить так, чтобы исключить случаи неупругого рассеяния, т.е. случаи изменения спина или четности ядра-анализатора в конечном состоянии и т.д. Тогда  $\bar{P}$  может быть найдено из опыта по формуле  $\bar{P} = \epsilon_p / P_A \cdot x$ .

Асимметрия  $\bar{Q}$  связана со свойствами первоначального поляризованного пучка ( $\bar{P}_{\text{пуч}} \neq 0$ ), рассеиваемого на неполяризованной мишени (или наоборот - поляризована мишень, а пучок неполяризован). Для нахождения  $\bar{Q}$  нужно провести только одно рассеяние (см. рис. 2). В этом случае  $\epsilon_a = \bar{Q} P_{\text{пуч. (мишень)}}$ .

Двойное рассеяние не является единственным способом нахождения  $\bar{P}$ . На основании результатов /2,8/ можно показать, что эксперимент по определению параметра деполяризации, если проводить его при двух взаимно противоположных направлениях нормали второго рассеяния (см. рис. 3), при известной величине  $\bar{Q}$  позволяет найти  $\bar{P}$  по формуле

$$\bar{P} = \frac{(1 + \bar{Q} P_1) \epsilon_{3+} - (1 - \bar{Q} P_1) \epsilon_{3-}}{2 P_3}$$

Здесь  $P_1$  - поляризация пучка после первого рассеяния,  $P_3$  - анализирующая способность мишени в третьем, анализирующем рассеянии,  $\epsilon_{3+}$ ,  $\epsilon_{3-}$  - наблюдаемые в третьем рассеянии азимутальные асимметрии, соответствующие двум взаимно противоположным направлениям нормалей во втором рассеянии. Если при проведении эксперимента важно избавиться

<sup>x/</sup>Здесь и всюду ниже, если не будет оговорено особо, подразумеваются нормальные компоненты векторов  $\bar{P}, \bar{Q}, P_A$ .



от некоторых эффектов, связанных с энергетической зависимостью  $\mathcal{Q}$  или  $\mathcal{P}$ , последний способ нахождения  $\mathcal{P}$  может оказаться более предпочтительным. Этот метод удобен с точки зрения эксперимента еще и потому, что выбор мишени-анализатора не ограничен никакими требованиями. Годится любая мишень, обладающая приемлемой величиной анализирующей способности. Проводя анализирующее рассеяние, не нужно заботиться о выделении актов упругого рассеяния.

### 36. Связь $\mathcal{P}-\mathcal{Q}$ с коэффициентами матрицы рассеяния

Разность  $\mathcal{P}-\mathcal{Q}$  простым образом связана с  $T$ -инвариантными членами матрицы рассеяния и в частном, но достаточно общем случае, описываемом формулой (2), равна

$$\mathcal{P}-\mathcal{Q} = \frac{4 \operatorname{Im} T^*(E-F)}{I(\theta)}, \quad (7)$$

где  $I(\theta)$  - дифференциальное сечение  $x/$  процесса  $/9/$ . Таким образом, зная  $\mathcal{P}$  и  $\mathcal{Q}$  и используя (7), можно вычислить возможный вклад

$T$ -инвариантной амплитуды в полную матрицу рассеяния, если известны другие ее члены.

Часто пользуются разложением амплитуды в ряд по полиномам Лежандра. В этом случае анализ результатов опыта удобно проводить в терминах  $T$ -неинвариантных фазовых параметров  $\lambda$   $/3/$ :

$$T = \frac{1}{4k} \sum_{\ell} T_{\ell} = \frac{1}{4k} \sum_{\ell} A_{\ell}(\theta) B(\bar{\delta}, \bar{\epsilon}) \sin \lambda_{\ell+1}. \quad (8)$$

В этом выражении  $\ell$  - орбитальный момент;  $A_{\ell}(\theta)$  и  $B(\bar{\delta}, \bar{\epsilon})$  - известные функции угла  $\theta$ , фазовых сдвигов  $\bar{\delta}$  и параметров смешивания  $\bar{\epsilon}$  (см. приложение). Параметр  $\lambda_{\ell+1}$  характеризует степень наруше-

---

$x/$  В дифференциальное сечение амплитуды  $E, F$  входят квадратично, ими можно пренебречь вследствие их малости.

ния  $T$ -инвариантности в состояниях с  $J = \ell + 1$ . Легко видеть, что максимальному нарушению соответствует значение  $\lambda = \pi/2$ .

Возможные эффекты нарушения  $T$ -инвариантности могут быть легко замаскированы рядом причин. С одной стороны, при случайном и неудачном выборе угла рассеяния величина  $E-F$  может обратиться в ноль. В связи с этим обстоятельством становятся особенно ценными сведения об угловой зависимости амплитуд  $E$  и  $F$ , которые обычно извлекают на основе фазового анализа или путем "прямого восстановления" матрицы рассеяния /5/. С другой стороны, необходимо учитывать и чисто динамические аспекты проблемы, на которые впервые обратили внимание авторы работ /10,11/. Дело в том, что из анализа нуклон-нуклонного рассеяния в области 0-750 Мэв /6/ известно, что в амплитуде  $T_{\ell} \approx \sin 2\bar{\epsilon}_{\ell+1}$  параметры  $\bar{\epsilon}_{\ell+1}$  малы в  $pp$ -рассеянии и, по-видимому, достигают  $20^\circ + 30^\circ$  в случае  $J=1$  в  $pn$ -рассеянии  $x$ . Поэтому при планировании будущих экспериментов естественно учитывать относительную простоту опытов с протонами и сложность, но богатство возможностей экспериментов по  $pn$ -рассеянию.

Выше уже отмечалась важность сведений об амплитудах рассеяния при планировании экспериментов по проверке  $T$ -инвариантности. Однако далеко не во всех случаях рассеяние нуклонов изучено так детально, как в области 0-1000 Мэв. При более высоких энергиях, где проверка соотношения  $\mathcal{P} = \mathcal{Q}$  особенно интересна, но экспериментальная информация еще слишком бедна для восстановления всей матрицы рассеяния, весьма полезны простые соотношения между амплитудой  $T$  и величинами  $\mathcal{P}$ ,  $\mathcal{Q}$ ,  $C_{nn}$ ,  $K_{nn}$  и т.д., полученными в работе /10/.

### Зв. Ограничения на параметры тройного рассеяния и опыты с вращением спина

$T$ -инвариантность ядерных сил накладывает вполне определенные ограничения и на параметры тройного рассеяния. Можно показать, что

$x/$  К сожалению, этот факт еще не установлен надежно в области энергий, больших  $\approx 300$  Мэв.

если матрица  $M$  имеет вид (3), то между четырьмя параметрами трой-ного рассеяния,  $R, A, R'$  и  $A'$ , существует релятивистское соотноше-ние /12/

$$\frac{R'+A}{-R+A'} = \text{tg} \theta_{\text{лс}} \quad (9)$$

В этом выражении  $\theta_{\text{лс}}$  - угол рассеяния в лабораторной системе отсче-та. Долгое время предполагалось, что для проверки этого соотношения необходимо выполнить четыре довольно трудоемких независимых экспе-римента. Однако недавно в работе /13/ была продемонстрирована возмож-ность проверки равенства (9), используя всего лишь два независимых эксперимента по тройному рассеянию нуклонов. Вследствие безусловной новизны этого предложения рассмотрим его подробнее.

Предлагается для процесса упругого рассеяния двух нуклонов срав-нить поляризации пучков после рассеяния при двух конфигурациях опыта, имитирующих прямой и обратный процессы, схема которых в с.п.м. изоб-ражена на рис. 4. Геометрия этих опытов различается углами наклона векторов спина  $X_1$  и  $X_f$  по отношению к импульсам частиц и знака-ми угла  $\theta_{\text{с.п.}}$ . На рис. 4 символами  $P_1^A(P_1^B)$  и  $P_f^A(P_f^B)$  обозначены компоненты поляризации падающего и рассеянного пучков на направления, задаваемые углами  $X_1$  и  $X_f$  в конфигурациях "А" и "В".

На рис. 5 те же процессы изображены в лабораторной системе отсче-та, в которой вследствие лоренцевского преобразования соответствующие углы  $X_1^{\text{сц}}$  и  $X_f^{\text{сц}}$  деформированы:  $X_f^{\text{сц}} = X_f^{\text{лс}} + \theta_{\text{лс}}$  и  $X_1^{\text{сц}} = X_1^{\text{лс}} - \theta_{\text{лс}}$ . Для измерений поляризаций  $P_f^{A(B)}$  необходимо повернуть спины час-тиц в опытах "А" и "В" на углы  $90^\circ - (X_f^{\text{лс}} + \theta_{\text{лс}})$  и  $90^\circ - (X_1^{\text{лс}} - \theta_{\text{лс}})^\circ$  соответственно.

Для разности измеряемых величин  $P_f^A$  и  $P_f^B$  авторы /13/ получи-ли выражение

$$P_f^A - P_f^B = 4 \text{Re} T^*(E - F) = \{ (A + R' \cos \theta_{\text{лс}} - (A' - R) \sin \theta_{\text{лс}} \} \sin (X_1^{\text{лс}} + X_f^{\text{лс}}). \quad (10)$$

Отсюда легко видеть, что обращение в ноль разности  $P_f^A - P_f^B$  с необ-ходимостью приводит к равенству (9). Следует обратить внимание на то

обстоятельство, что опыт по измерению разности  $\mathcal{P}-\mathcal{G}$  и эксперимент по определению  $P_i^A - P_i^B$  дополняют друг друга в том смысле, что в принципе оба они создают возможность восстановления и модуля, и фазы  $T$ -инвариантного члена амплитуды рассеяния.

### 3г. Эксперименты с поляризованными мишенями

Для исследования  $T$ -,  $P$ -,  $S$ - и др. преобразований большие возможности предоставляет техника поляризованных мишеней. Использование этих мишеней на поляризованных пучках позволяет измерить различные компоненты тензора поляризации, например третьего ранга. Сравнение их между собой - новый возможный вариант проверки  $T$ -инвариантности. Ниже, в табл. 2, заимствованной нами из работы <sup>/5/</sup>, схематически изображены все мыслимые опыты по упругому взаимодействию нуклонов для матрицы рассеяния вида (3). Каждый столбец в этой таблице соответствует начальному спиновому состоянию системы из двух нуклонов, а в каждой строке приведена характеристика, подлежащая измерению в процессе рассеяния. Индекс  $i$  обозначает направление начальной поляризации падающих частиц, индекс  $k$  - направление начальной поляризации частиц мишени;  $P$  - отмечает измеряемую компоненту поляризации рассеянной частицы,  $q$  - измеряемую компоненту поляризации частицы отдачи. Каждый опыт дает информацию о тензорной величине  $(I, \mathcal{P}, K, D, T)$ , размерность которой указывается числом индексов снизу справа.

При инвариантности матрицы рассеяния относительно обращения времени эквивалентны те совокупности опытов, которые указаны в клетках табл. 2, симметричных относительно главной диагонали <sup>/5/</sup>. Поляризованная мишень, таким образом, позволяет проверить равенства

$$K_{1q}^{(2)} = K_{kp}^{(1)}, \quad \mathcal{P}_{kprq} = T_{1kq} \quad \text{и т.д.}$$

Таблица 2

	Начальное Результат измерения спиновое состояние	А неполяризованный пучок - мишень	В поляризованный пучок - мишень	С Неполяризованный пучок-поляризованный мишень	Д Поляризованный пучок-поляризованный мишень
1.	Сечение	$I$	$\sigma_i^{(1)}$	$\sigma_k^{(2)}$	$\sigma_{ik}$
2.	Поляризация рассеянной частицы	$P_p^{(1)}$	$D_{ip}^{(1)}$	$K_{kp}^{(1)}$	$T_{ikp}^{(1)}$
3.	Поляризация частицы отдачи	$P_q^{(2)}$	$K_{iq}^{(2)}$	$D_{kq}^{(2)}$	$T_{ikq}^{(2)}$
4.	Корреляция поляризаций	$P_{pq}$	$P_{ipq}^{(1)}$	$P_{kpq}^{(2)}$	$T_{ikpq}$

§4. Обзор экспериментальных работ

4а. Проверка  $P = \alpha$  в опытах по двойному рассеянию протонов

Первые результаты, на основании которых можно было бы судить о равенстве величин  $P$  и  $\alpha$ , были получены в Беркли, в 1953 г. группой Оксли /14/. Опыт Оксли и сотрудников проводился по схеме двойного рассеяния. Вначале, при измерениях с двумя графитовыми мишенями, первая из которых располагалась внутри вакуумной камеры ускорителя, получался поляризованный пучок протонов и оценивалась его поляризация. Затем путем последовательной замены первой и второй мишени рассеивателями из  $CH_2$  находились величины  $P_{pp}$  и  $\alpha_{pp}$  для интервала углов  $19+27^\circ$ . При измерениях лево-правых асимметрий в этом опыте неравенством углов (и энергий) в первом и втором рассеяниях пренебрегали. Для протонов с начальной энергией около 220 Мэв измеренные таким методом параметры поляризации и асимметрии, отнесен-

ные к угловому интервалу  $19^{\circ}$ - $27^{\circ}$  в с.д.м., оказались близкими по величине и равнялись  $0,216 \pm 0,055$  и  $0,206 \pm 0,027$  соответственно. На этом основании в работе Вудруффа /9/ было сделано заключение о том, что

$$\mathcal{P}_{pp} - \mathcal{Q}_{pp} = 0,010 \pm 0,060. \quad (11)$$

Относительно этого результата уместно заметить, что в работе /9/ совсем не ставилась задача проверки равенства  $\mathcal{P} = \mathcal{Q}$ . Поэтому авторы не испытывали необходимости учитывать в достаточно полной мере все те эффекты, которые могли бы исказить разность  $\mathcal{P} - \mathcal{Q}$ . К этим эффектам следует отнести наличие у рассеянных протонов широкого энергетического спектра, угловые и энергетические зависимости поляризации в  $pp$ - и  $pc$ -рассеяниях и т.п. Достаточно точный учет их трудно выполнить, и поэтому реальная погрешность в (11) должна возрасти, по нашим оценкам она будет близка к 0,100.

В 1958 г. в Уппсала Хиллман и др. /15/, используя выведенный неполяризованный пучок протонов с энергией  $(176 + 179)$  Мэв, измерили величину  $\mathcal{P}_{pp}$  для двух углов,  $37^{\circ}$  и  $50^{\circ}$ , в системе центра масс сталкивающихся протонов. В анализирующем рассеянии были использованы мишени, прокалиброванные этими же авторами в предыдущей работе /16/ по изучению угловых зависимостей упруго и неупруго рассеянных протонов на ядрах различных элементов. Величины асимметрий  $\mathcal{Q}_{pp}$  не измерялись, а вычислялись интерполированием результатов /17/ для той же области энергий  $pp$ -рассеяния. Результат Хиллмана и др. /15/ приведен в табл. 3.

Таблица 3

$\theta_{sc}$ градусы	$\Delta \theta_{sc}$ градусы	$\mathcal{P}_{pp}$	$\mathcal{Q}_{pp}$	$\mathcal{P}_{pp} - \mathcal{Q}_{pp}$
30,9	1,4	$0,264 \pm 0,014$	$0,257 \pm 0,018$	$0,007 \pm 0,023$
50	2,0	$0,276 \pm 0,013$	$0,265 \pm 0,018$	$0,011 \pm 0,022$

В ней не указаны систематические ошибки и не учтены корреляции ошибок. Если учесть 5%-ную неопределенность в величине анализирующих способностей, 2%-ную ошибку в величине поляризации пучка, в тех же условиях получим

$$\left. \begin{aligned} \mathcal{P}_{pp} - \mathcal{G}_{pp} (30,9^\circ) &= 0,007 \pm 0,026 \\ \text{и} \quad \mathcal{P}_{pp} - \mathcal{G}_{pp} (50,0^\circ) &= 0,011 \pm 0,026 \end{aligned} \right\} \quad (12)$$

Аналогичный эксперимент был выполнен также Абашьяном и Хафнером для упругого pp-рассеяния при энергии 220 Мэв /18/. Эти авторы, используя методику отделения неупругих актов рассеяния протона на ядрах, разработанную ранее одним из них /19/, измерили оба параметра,  $\mathcal{P}$  и  $\mathcal{G}$ , для угла  $30^\circ$  с.ц.м.

Их результат:  $\mathcal{P}_{pp} = 0,279 \pm 0,017$  и  $\mathcal{G}_{pp} = 0,308 \pm 0,005$ .

$$\text{Отсюда} \quad \mathcal{P}_{pp} - \mathcal{G}_{pp} = -0,019 \pm 0,018 \quad (13)$$

(Ошибки - статистические и приведены без учёта корреляций). На наш взгляд, точность результата (13) заметно завышена. Например, статистическая ошибка  $\mathcal{G}_{pp}$ , равная 1,6%, неполна, так как находится в противоречии с погрешностью поляризации пучка  $0,89 \pm 0,02$ , использованного в этих опытах /19/. Учет корреляций также приводит к ухудшению точности. Однако вследствие того, что в работе /18/ не содержится какой-либо информации о численных значениях величин  $P_A$ ,  $e_\varphi$  и  $e_a$ , точный учет корреляций невозможен x/.

В обоих упомянутых выше экспериментах было необходимо принимать специальные меры для отделения случаев упругого рассеяния на ядрах вещества анализаторов от неупругих, сопровождающихся возбуждением ядерных уровней или передачей энергии другим частицам. В опыте Хиллмана и др. это достигалось использованием специально сконструированного

x/ По нашим оценкам суммарная погрешность в (13) близка к  $0,030 \pm 0,045$ .

магнитного спектрометра с двойной фокусировкой, а в опыте Хафнера - группой счетчиков с набором тонких поглотителей  $x/$ .

#### 46. Проверка T-инвариантности в опытах по тройному рассеянию

Рассмотрим теперь другого типа эксперименты по упругому  $pp$ -рассеянию, в которых параметр поляризации находился так называемым "тройным рассеянием" нуклонов (см. рис. 3). Именно эти эксперименты, безусловно, более трудноосуществимые, чем опыты по двойному рассеянию, несут в настоящее время небольшую информацию о T-инвариантности нуклон-нуклонных взаимодействий.

Первые эксперименты этого типа были выполнены физиками из Харвардского университета. Соотношение  $P = \bar{\alpha}$  проверялось в упругом  $pp$ -рассеянии при энергиях  $98 \pm 1$  /20/ и  $142 \pm 5$  Мэв /21/. В обоих случаях измерялись как величина  $P_{pp}$ , так и величина  $\bar{\alpha}_{pp}$ . Результаты (см. табл. 4) согласуются с принципом T-инвариантности.

Позднее стали известны результаты новых измерений параметра  $\bar{\alpha}_{pp}$  (142 Мэв) /22/. Пересчитанные с учетом этих данных значения  $P = \bar{\alpha}$  для энергии 142 Мэв также не противоречат T-инвариантности и приведены в табл. 4.

В 1967-68 г.г. в Дубне /24/ была выполнена проверка равенства  $P = \bar{\alpha}$  при энергии  $635 \pm 8$  Мэв, т.е. в той области энергий, где упругое рассеяние сопровождается весьма интенсивными процессами мезообразования. В этом опыте обе величины,  $P_{pp}$  и  $\bar{\alpha}_{pp}$ , измерялись в одних и тех же условиях, на одном и том же пучке, при равных энергиях. Измерения асимметрий тройного рассеяния  $e_{3+}$  и  $e_{3-}$  в отличие от опытов при энергиях 98 и 142 Мэв проводились одновременно. Все это позволяет считать дубненские данные (см. табл. 4) наиболее надежными.

Эксперименты всех трех групп /20,21,24/ выполнены методикой синцилляторных счетчиков, сочетающейся с прецизионным соблюдением всех требований, предъявляемых в экспериментах этого рода к геометрии пучков и рассеяний, энергетическим характеристикам, асимметриям и т.д.

$x/$  Красивая проверка T-инвариантности ядерных сил в опытах по рассеянию протонов на ядре  $^{13}\text{C}$  при энергии 32,9 Мэв описана в работе /23/. Не имея здесь возможности остановиться подробно на идеях и результатах этой работы, отметим, что полученное авторами /23/ отношение  $P/\bar{\alpha} = 0,992 \pm 0,025$  не противоречит равенству  $P = \bar{\alpha}$ .



Таблица 4

98±1 Мэв /20/		142±5 Мэв /2/		142±5 Мэв		635±8 Мэв /24/	
$\theta_{\text{н}}^{\circ}$	$P-Q$ x'	$\theta_{\text{н}}^{\circ}$	$P-Q$	$\theta_{\text{н}}^{\circ}$	$P-Q$ xx'	$\theta_{\text{н}}^{\circ}$	$P-Q$ xxx'
-	-	6	0,015±0,054	6	-	15	0,062±0,046
10	-0,032±0,011	10	0,014±0,030	10	0,007±0,023	18	0,045±0,044
15	-0,020±0,050	15	-0,043±0,025	15	-0,037±0,024	21	-0,012±0,022
20	-0,100±0,060	20	-0,023±0,023	20	0,014±0,021	27	-0,017±0,024
25	0,080±0,070	25	-0,063±0,024	25	-0,030±0,022	32	-0,022±0,037
30	-0,095±0,100	30	0,010±0,023	30	0,037±0,022	41	-0,008±0,022
-	-	35	0,002±0,048	35	0,059±0,047	49	-0,090±0,037
-	-	40	-0,083±0,066	40	0,062±0,066	55	0,062±0,044

x' Значения  $\bar{Q}$  взяты для энергии 95 Мэв /20/.xx' Используются уточненные в работе /22/ значения  $\bar{Q}$ .

xxx' Приведены полные ошибки с учётом коррелированности величин.

Последняя из известных нам работ по проверке T-инвариантности в процессах рассеяния нуклонов выполнена при энергии 430 Мэв /13/. В этом опыте, схема которого уже описывалась в предыдущем параграфе, использовался пучок с начальной поляризацией  $P_0 = 0,532 \pm 0,025$ , ориентированный нормально к плоскости рис. 5. Соленоидом S и поворотным магнитом B спин протонов переводился в плоскость рисунка так, что углы  $\chi_1^{\text{де}}, \chi_1^{\text{лс}} = 45^{\circ}$ . Поскольку угол рассеяния был равен  $30^{\circ}$ , то углы поворота спинов перед анализирующим рассеянием были  $15^{\circ}$  и  $30^{\circ}$  соответственно для конфигураций опыта "А" и "В" x/.

Измерение величин  $P_r^{A(B)}$  осуществлялось с помощью анализированного рассеяния на углероде и проволочной искровой камеры, включенной на линию с электронной вычислительной машиной. Пространственное распределение случаев описывалось функцией  $1 + \epsilon^{A(B)} \cos \phi + \delta^{A(B)} \sin \phi$ , зависящей от азимутального угла  $\phi$ . В этом выражении  $\epsilon^{A(B)}$  — величина, связанная с лево-правой асимметрией;  $\delta^{A(B)} = P_A P_r^{A(B)}$ . Анализирующая способность установки  $P_A$  находилась в отдельном опыте и оказалась равной  $0,311 \pm 0,006$ . Оба коэффициента,  $\delta$  и  $\epsilon$ , вычислялись методом наименьших квадратов. Полное число зарегистрированных событий было равно примерно 500 тыс., было разбито на 20 угловых интервалов ( $\bar{\chi}^2 = 18$ ). После набора 50 тыс. случаев рассеяния поле соленоида переключалось для изменения знака  $\delta^{A(B)}$ . Разность между величинами  $|\delta^A - \delta^B|$ , найденными в опытах с положительным и отрицательным направлением поля соленоида, достигала  $\approx 0,0100$ . Соответствующая величина для  $\epsilon$  равнялась  $\approx 0,0200$ . Это обстоятельство заставляет нас думать, что едва ли в суммарной погрешности разности  $\delta^A - \delta^B$  будет доминировать лишь вклад статистической ошибки эксперимента, равный 0,0100 (сравни с величинами 0,0200 и 0,0100).

На фоне этих больших систематических смещений результата было найдено (см. табл. 5), что  $\delta^A - \delta^B = 0,0006 \pm 0,0028$ . Отсюда с учётом

$P_A$  имеем

$$P_r^A - P_r^B = 0,0019 \pm 0,0090.$$

x/ Столь большая разница в углах поворота спинов является важным неизбежным источником систематических ошибок в разности  $\delta^A - \delta^B$ .

Таблица 5

Геометрия	Соленоид	$\varepsilon$	$\delta$	Число событий	$\chi^2$ -критерий
A	+	0,1584	-0,1615	234025	12,6
A	-	0,1634	0,1616	261520	14,1
B	+	-0,1453	-0,1658	212033	12,7
B	-	-0,1387	-0,1561	200046	15,9
A	сумма	0,1609	0,1616	495545	11,3
B	сумма	-0,1420	0,1610	412079	14,4

## §5. Анализ экспериментальных данных

Уже беглый взгляд на табл. 1,3,4 и результаты (13) и (14) свидетельствует об отсутствии статистически обоснованных указаний на нарушение принципа T-инвариантности. Чтобы сделать этот вывод количественным и исключить некоторые обстоятельства случайного характера, например, связанные с обращением в нуль члена в формулах (9) и (7), необходим более глубокий анализ.

Такое рассмотрение в терминах T-неинвариантных фазовых сдвигов  $\lambda_{\ell+1}$  было выполнено впервые в работе Вудруффа <sup>/9/</sup>. Ограничиваясь рассмотрением переходов  $^3P_2 \leftrightarrow ^3F_2$  и привлекая потенциальную модель Гаммеля-Талера, автор проанализировал сумму данных, имевшихся при энергиях 180 и 220 Мэв. Путем усреднения результата по этим энергиям им было найдено, что  $\overline{\sin \lambda_2} = -0,033 \pm 0,033$ .

Аналогичный анализ Торндайка <sup>/3/</sup>, выполненный в 1965 г. на основании  $\Upsilon_{LAM}$ -фазовых сдвигов, включал те же и позднее появившиеся экспериментальные данные.

Таблица 6

Энергия, МэВ	I42 <sup>ж</sup> )	I76-I79	220
$\sin \lambda_2$	$-0,05 \pm 0,033$	$0,022 \pm 0,038$	$-0,100 \pm 0,060$

Результат Торндайка приведен в табл. 5. Усреднение по всем энергиям в предположении слабой энергетической зависимости параметра  $\lambda_2$  дало

$$\sin \lambda_2 = -0,030 \pm 0,023 . \quad (15)$$

Для энергии 430 МэВ авторы /13/ нашли, что

$$|\sin \lambda_2| \leq 0,100 \pm 0,050 . \quad (16)$$

Соответствующие вычисления при энергии 640 МэВ с привлечением результатов фазового анализа /25/ дали для  $\lambda_2$  следующую оценку /24/:

$$\sin \lambda_2 = -0,110 \pm 0,100 . \quad (17)$$

Отношение  $T$  -нечетной амплитуды к полной амплитуде процесса на этой энергии найдено равным

$$\frac{\operatorname{Re} T(15^\circ \div 55^\circ)}{\sqrt{I(15^\circ \div 55^\circ)}} = -(8+11) \cdot 10^{-3} \quad (18)$$

в усредненном интервале углов  $15^\circ$ - $55^\circ$  л.с. При этих вычислениях предполагалось  $\operatorname{Re} T = \operatorname{Im} T$ .

Сводка известных к настоящему времени оценок параметра  $\lambda_2$  дана в табл. 7. Примечания в этой таблице относятся к экспериментальным значениям  $\mathcal{P} - \mathcal{Q}$ , на основании которых находились величины  $\sin \lambda_2$  (исключением является эксперимент при энергии 435 МэВ).

<sup>ж</sup>/ Использовались неперенормированные результаты /21/. Перенормировка, возможно, незначительно изменит результат (15).

Энергия, МэВ	95+98/20/	142/21/	176-179/15/	220/18/	430/13/	635/24/
$\sin \lambda_2$	-	-0,050±0,033*	0,022±0,038	0,100±0,060	0,100±0,50	-0,110±0,100
Примечание	ошибка полная	ошибка полная	ошибка статис- тически непол- ная; не учтены корреляции	ошибка статис- тически непол- ная; не учтены корреляции	ошибка статис- тическая полная. О систематике см. замечание на стр 7	ошибка полная, учитывает ста- тистическую, систематичес- кую погреш- ности и кор- реляции

20

\* При оценке  $\lambda_2$  не учитывались новейшие измерения  $\lambda_{pp}$  для энергии 142 МэВ/22/.

## 86. Заключение

Усреднение всех известных результатов, проведенное в предположении слабой энергетической зависимости  $T$ -инвариантной фазы  $\lambda_2$ , в области энергий (142-640) МэВ дает следующий результат:

$$\overline{\sin \lambda_2} = -0,012 \pm 0,019. \quad (19)$$

Таким образом, казалось бы, все это позволяет утверждать, что на уровне  $(2+4) \cdot 10^{-2}$  от амплитуд процессов упругого рассеяния протонов эксперимент не противоречит принципу  $T$ -инвариантности. Однако оценки (15), (16) и (19) слишком оптимистичны, так как получены с учетом одних лишь статистических погрешностей, которые, кстати, не во всех случаях отражают полную погрешность измерений. На наш взгляд, суммарная ошибка в оценке (19), по-видимому, близка к величине 0,040. Эта точность еще далека от желаемого уровня  $10^{-3}$ , который помог бы проверить одну из многих гипотез, выдвигавшихся в свое время для объяснения распадов  $K_L^0 \rightarrow 2\pi$  /26/. Конечно, наиболее благоприятные перспективы по исследованию  $T$ -,  $P$ - и др. инвариантностей в нуклон-нуклонных соударениях связаны с повышением интенсивности внутренних токов ускорителей на один-два порядка. Однако и сейчас улучшение точности экспериментальных данных на порядок является вполне реальной задачей для экспериментаторов.

Автор благодарит проф. В.П. Желепова за интересные обсуждения вопросов, затронутых в работе.

## Приложение

Нарушающая  $T$ -инвариантность амплитуда  $T$  выражается следующим образом через фазовые сдвиги /3,9/:

$$T = \frac{1}{4k} \sum_{\ell} A_{\ell}(\theta) B(\delta, \epsilon) \sin \lambda_{\ell+1}, \quad (П.1)$$

где

$$A_{\ell}(\theta) = \frac{2\ell+3}{\sqrt{(\ell+1)(\ell+2)}} [(\ell+1)P_{\ell}(\theta) \sin \theta + P_{\ell}'(\theta) \cos \theta], \quad (П.2)$$

$$B(\bar{\delta}, \bar{\epsilon}) = \sin 2\bar{\epsilon}_{\ell+1} \left( e^{2i\bar{\delta}_{\ell, \ell+1}} - e^{2i\bar{\delta}_{\ell+2, \ell+1}} \right). \quad (\text{П.3})$$

В этих выражениях  $\theta$  - угол рассеяния в с.ц.м.;  $P_{\ell}(\theta)$  и  $P'_{\ell}(\theta)$  - обычный и первый присоединенный полиномы Лежандра;  $\ell$  - орбитальный момент;  $\lambda_{\ell+1}$  - Т-неинвариантный фазовый сдвиг в состоянии с полным моментом  $J = \ell + 1$ ;  $\bar{\delta}$  и  $\bar{\epsilon}$  - фазовые сдвиги и параметры смешивания в представлениях Блатта-Биденхарна /27/.

Переход к параметризации Стаппа /28/, широко используемой в современных анализах, осуществляется с помощью формул:

$$\left. \begin{aligned} \delta_{\ell+2, \ell+1} + \delta_{\ell, \ell+1} &= \bar{\delta}_{\ell+2, \ell+1} + \bar{\delta}_{\ell, \ell+1}, \\ \sin(\bar{\delta}_{\ell, \ell+1} - \bar{\delta}_{\ell+2, \ell+1}) &= (\tan 2\epsilon_{\ell+1}) / \tan 2\epsilon_{\ell+1}, \\ \sin(\delta_{\ell, \ell+1} - \delta_{\ell+2, \ell+1}) &= (\sin 2\epsilon_{\ell+1}) / \sin 2\epsilon_{\ell+1}, \end{aligned} \right\} \quad (\text{П.4})$$

где  $\delta$  и  $\epsilon$  - фазовые сдвиги и параметры смешивания, введенные Стаппом.

#### Л и т е р а т у р а

1. J.H. Christenson, J.W. Cronin, V.L. Fitch, R. Turlay. *Phys. Rev. Lett.*, 13, 138 (1964).
2. L. Wolfenstein, J. Ashkin. *Phys. Rev.*, 85, 947 (1952).
3. E. Thorndike. *Phys. Rev.*, 138, 586B (1965).
4. R. Oehme. *Phys. Rev.*, 98, 147 (1955).
5. Л. Пузиков, Р. Рындин, Я. Смородинский. *ЖЭТФ*, 32, 592 (1957).
6. N. MacGregor, R. Arndt, R. Wright. *Phys. Rev.*, 169, 1128 (1968); *Phys. Rev.*, 169, 1149 (1968).
7. Е.В. Инопин. *Ядерная физика*, 3, 817 (1965).
8. L. Wolfenstein. *Phys. Rev.*, 96, 1654 (1954).
9. R.J. Phillips. *Nuovo Cim.*, 8, 265 (1958), J. Bell, F. Mandl. *Proc. Phys. Soc.*, 71, 272A (1958); A. Woddruff. *Ann. Phys.*, 3, 65 (1959).

10. С. М. Биленький, Л. И. Лapidус, Р. М. Рындин. Препринт ОИЯИ, P2-3716, Дубна, 1968.
11. Л. И. Лapidус. Препринт ОИЯИ, P2-3217, Дубна, 1967.
12. D.W. Sprung. *Phys. Rev.*, 121, 925 (1961).
13. R. Handler, S. Wright, L. Pondrom et al. *Phys. Rev. Lett.*, 19, 933 (1967).
14. C. L. Oxley, W. Cartwright, J. Rouvina et al. *Phys. Rev.*, 91, 419 (1953). *Phys. Rev.*, 93, 806 (1954).
15. P. Hillman, A. Johannson, G. Tibel. *Phys. Rev.*, 110, 1218 (1958).
16. G. Tibell, A. Johannson, A. Alphonse. *Nucl. Phys.*, 3, 185 (1957); *Nucl. Phys.*, 4, 648 (1957).
17. P. Baskir, E. Hafner, P. Tirlot. *Phys. Rev.*, 106, 546 (1957).
18. A. Abashian, E. Hafner. *Phys. Rev. Lett.*, 1, 255 (1958).
19. E. Hafner. *Phys. Rev.*, 111, 297 (1958).
20. E. H. Thorndike, T. R. Ophel. *Phys. Rev.*, 119, 362 (1960).
21. C. H. Hwang, T. P. Ophel, E. H. Thorndike, R. Wilson. *Phys. Rev.*, 119, 352 (1960).
22. G. F. Cox, G. H. Eaton, C. P. Van Zil, O. N. Jarvis, B. Rose. *Nucl. Phys.*, B7, No 4 (1968).
23. E. E. Gross, J. J. Malanify, A. Van Der Wonde, A. Zucker. *Phys. Rev. Lett.*, 21, 1476 (1968).
24. R. Zulkarneev, V. Nadezhdin, V. Satarov. См. докл. Ю. М. Казаринова в *Rev. Mod. Phys.*, 39, 509 (1967).  
Труды Совещания по  $nN$ - и  $NN$ -взаимодействиям. Дубна, 1968.  
Сообщение ОИЯИ, E1-4650, Дубна, 1969.
25. Р. Я. Зулкарнеев, В. С. Киселев, В. С. Надеждин, В. И. Сатаров. *Ядерная физика*, 6, 995 (1967).
26. Л. Б. Окунь. *Ядерная физика*, 1, 938 (1965).
27. J. M. Blatt, L. C. Biedenharn. *Phys. Rev.*, 86, 399 (1952); *Rev. Mod. Phys.*, 24, 258 (1952).
- H. P. Stapp, T. Ypsilantis, N. Metropolis. *Phys. Rev.*, 105, 302 (1957).

Рукопись поступила в издательский отдел

21 апреля 1970 года.

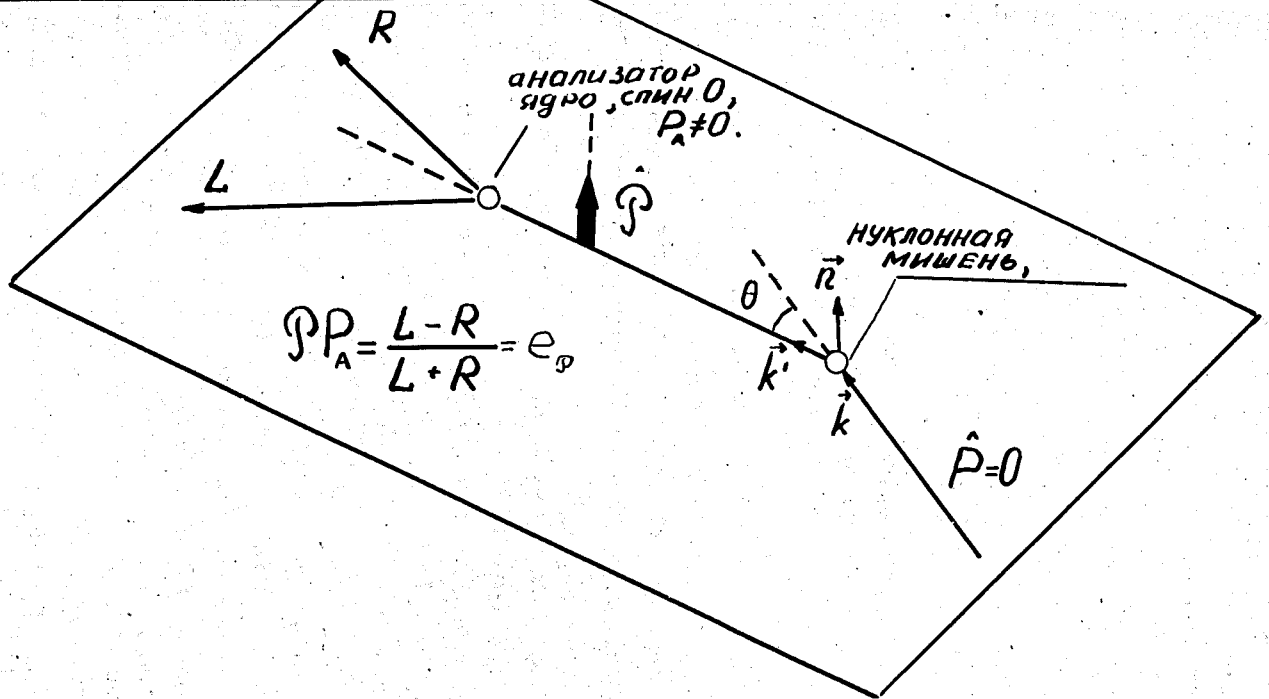


Рис. 1. Схема опыта по двойному рассеянию. Жирной черной стрелкой показано направление измеряемого вектора  $\mathcal{P}$ . Буквами L(R) отмечены рассеяния налево (направо).

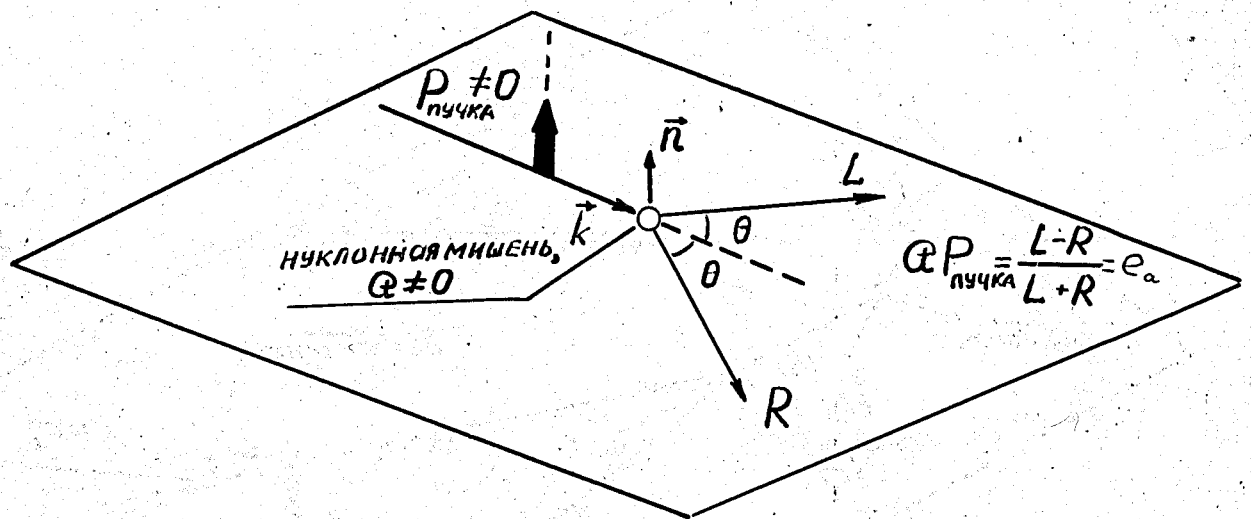
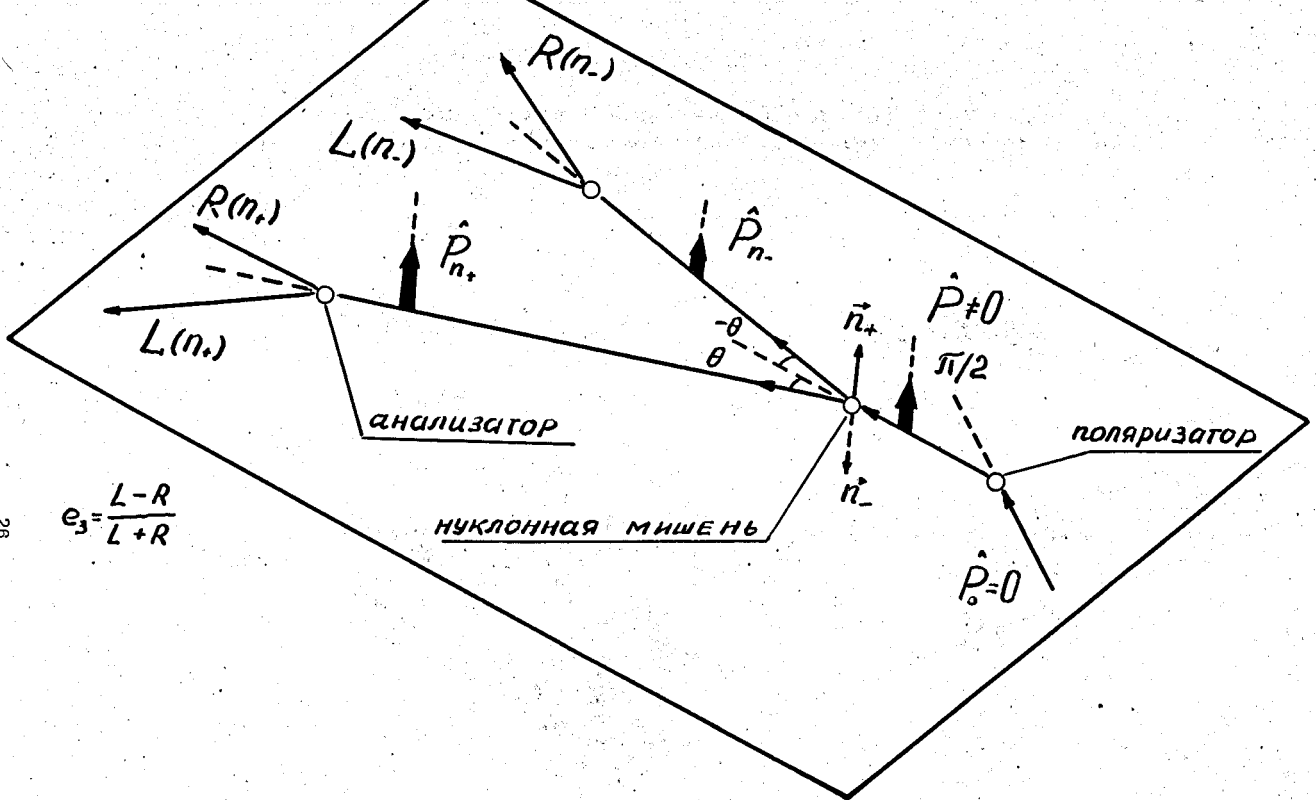
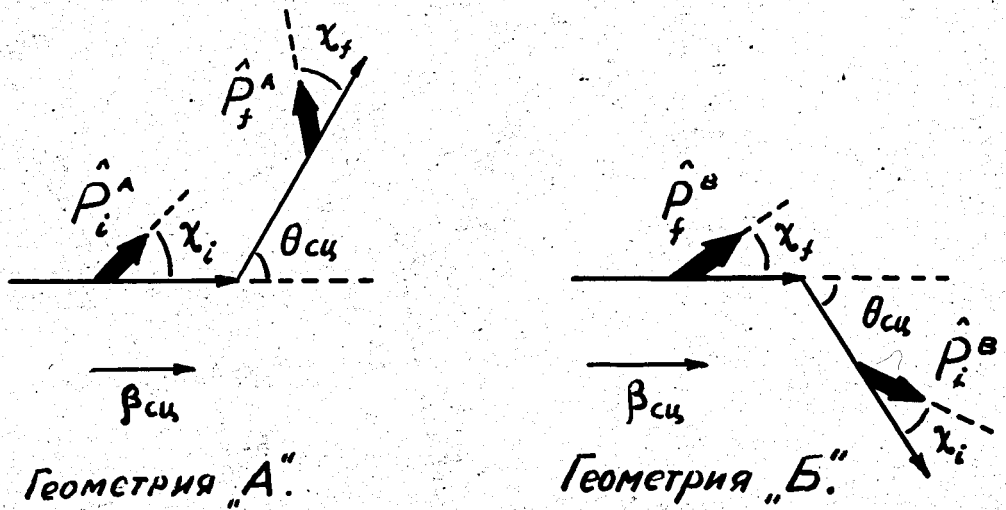


Рис. 2. Схема опыта по измерению асимметрии  $\bar{Q}$ . Жирная стрелка указывает направление поляризации пучка; L(R) имеют прежний смысл.



26

Рис. 3. Схема опыта по тройному рассеянию для измерения величины  $\varphi$ . Введены следующие обозначения:  $\vec{n}_{\pm}$  - нормали к плоскости второго рассеяния;  $\vec{P}_{n+}$  и  $\vec{P}_{n-}$  - поляризации дважды рассеянных пучков для геометрий опыта с  $\vec{n}_{+}$  и  $\vec{n}_{-}$  соответственно (жирные стрелки на рисунке).



27

Рис. 4. Схема опыта по проверке соотношения (9) в с.п.м.  $\vec{\beta}$  - скорость центра инерции.



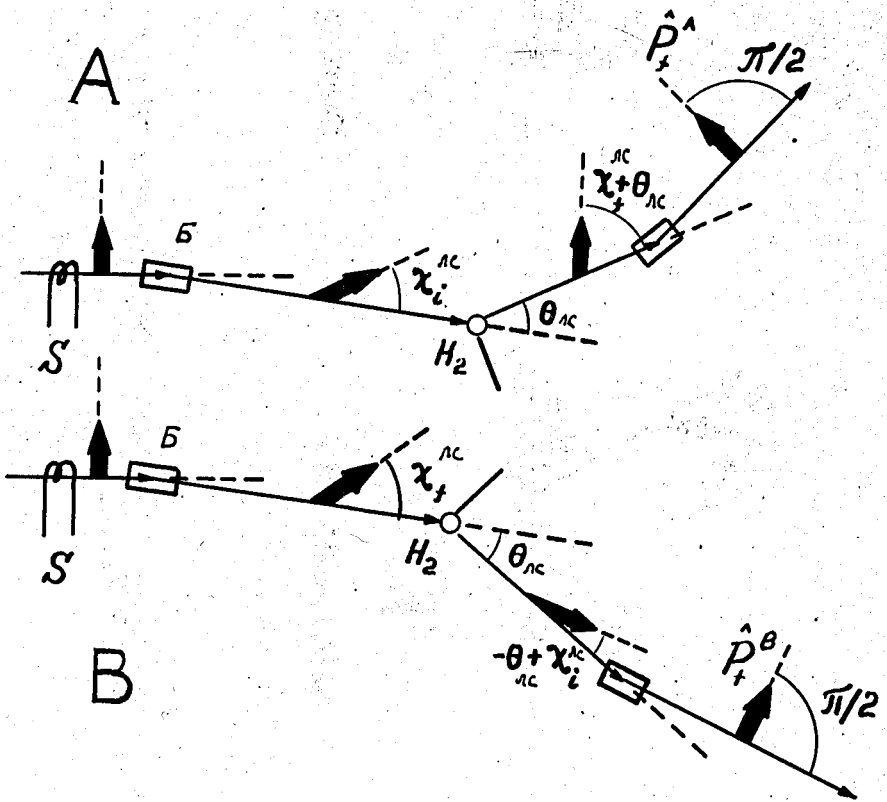


Рис. 5. Схема опыта по проверке соотношения (9) в лабораторной системе. Обозначения в тексте.